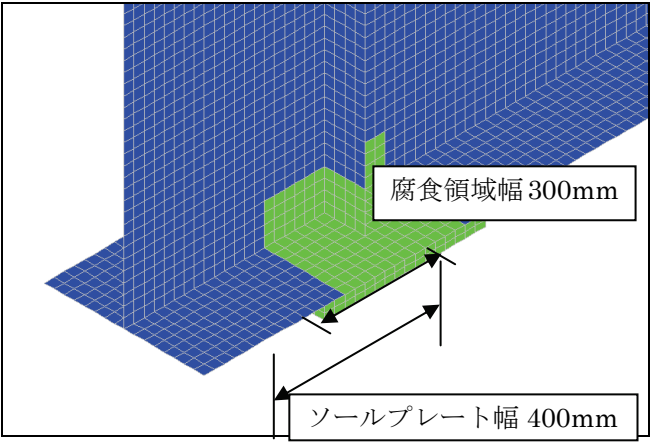
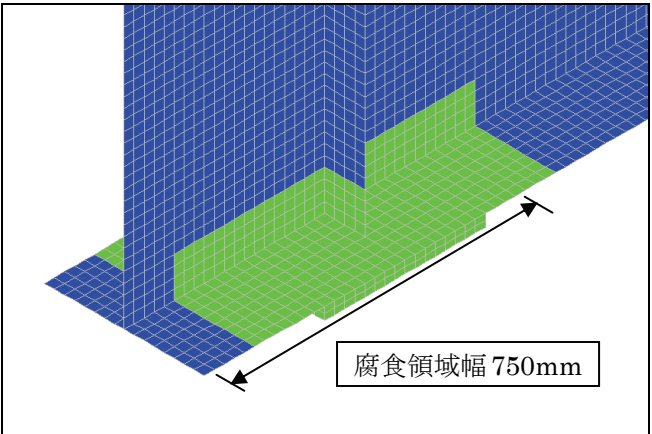
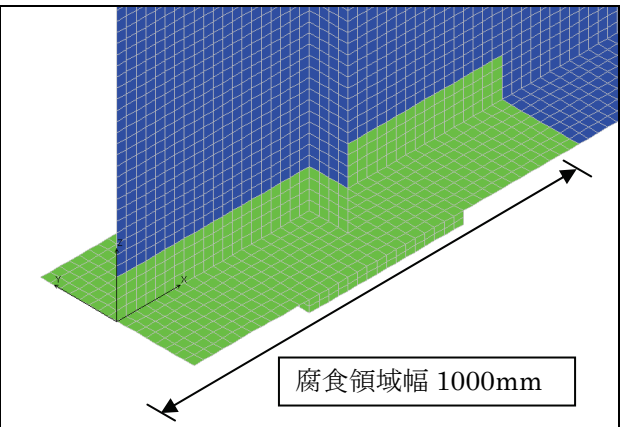


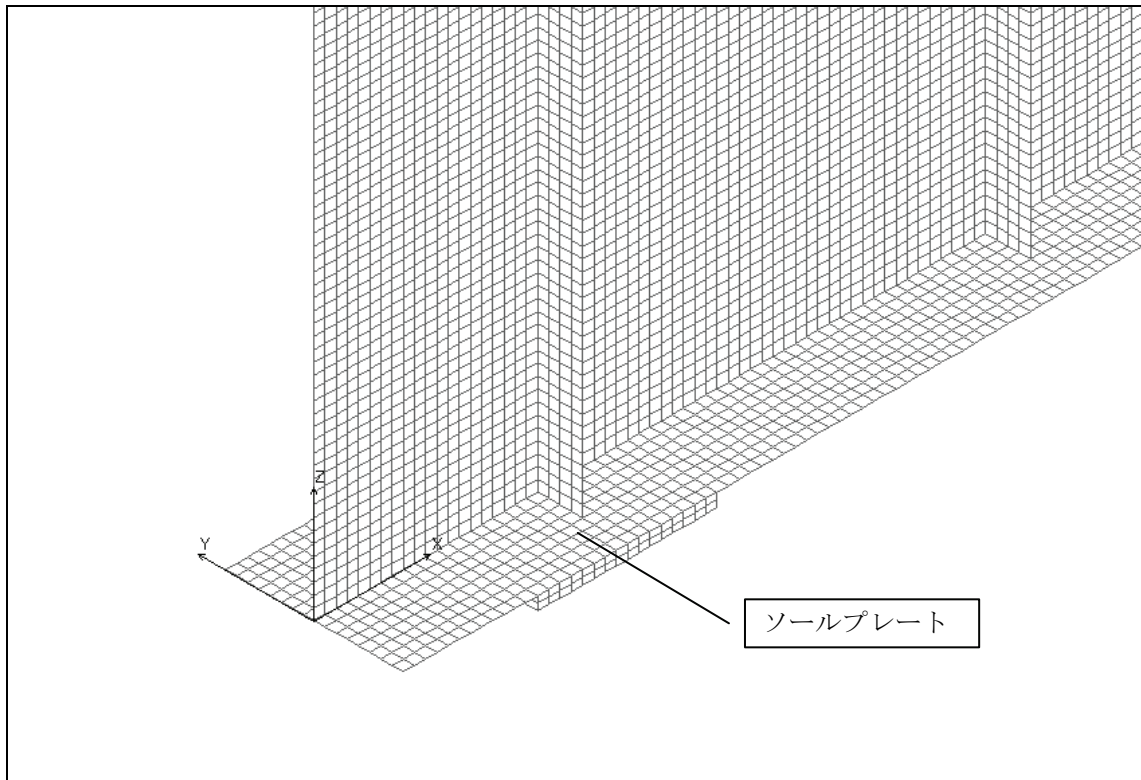
【付3】モデル C1～C3 解析結果

(1) 解析モデル

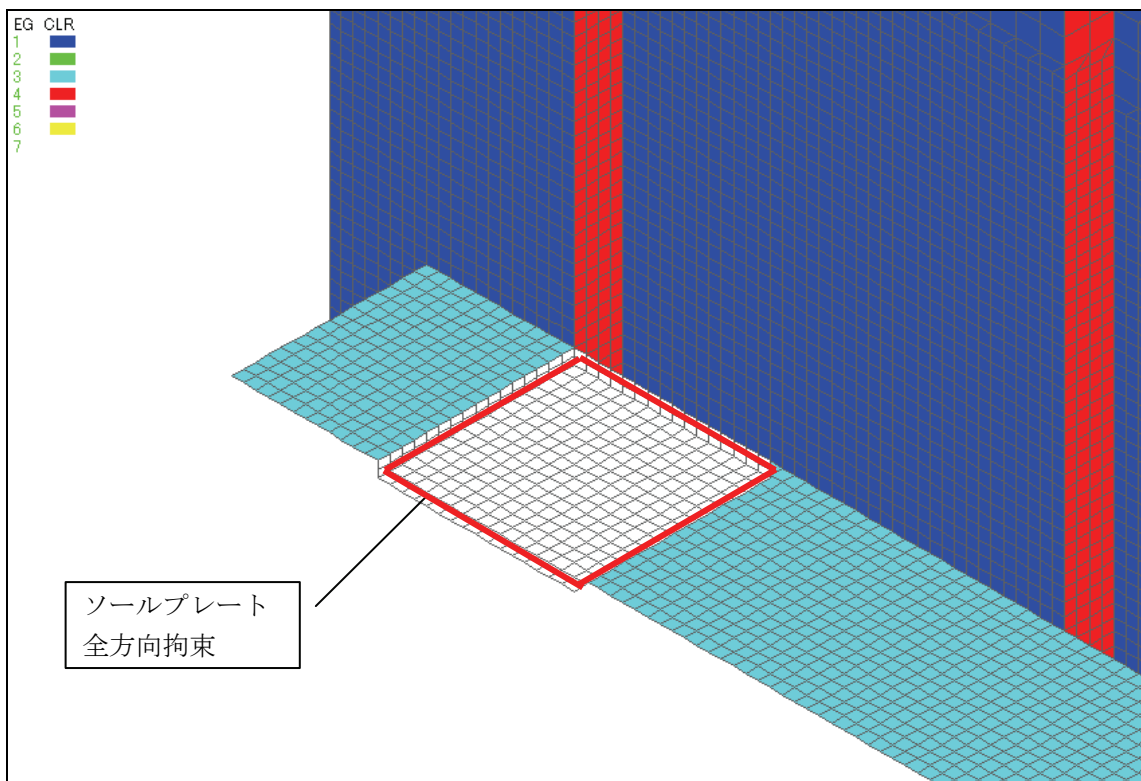
解析モデルはモデル3の下フランジの腐食範囲を変化させることとし、50%板厚減少と75%板厚減少とし、腐食の範囲の長さをソールプレート内部腐食（ソールプレート内とする）、ソールプレート外部腐食（ソールプレート外とする）、モデル3と同じ範囲の腐食（広範囲とする）の3段階とした。

<p>モデル C1</p> <p>腐食範囲：ソールプレート内</p>	 <p>腐食領域幅 300mm</p> <p>ソールプレート幅 400mm</p>
<p>モデル C2</p> <p>腐食範囲：ソールプレート外</p>	 <p>腐食領域幅 750mm</p>
<p>モデル C3</p> <p>腐食範囲：広範囲</p>	 <p>腐食領域幅 1000mm</p>

付図-3.1 腐食範囲影響解析 腐食モデル図

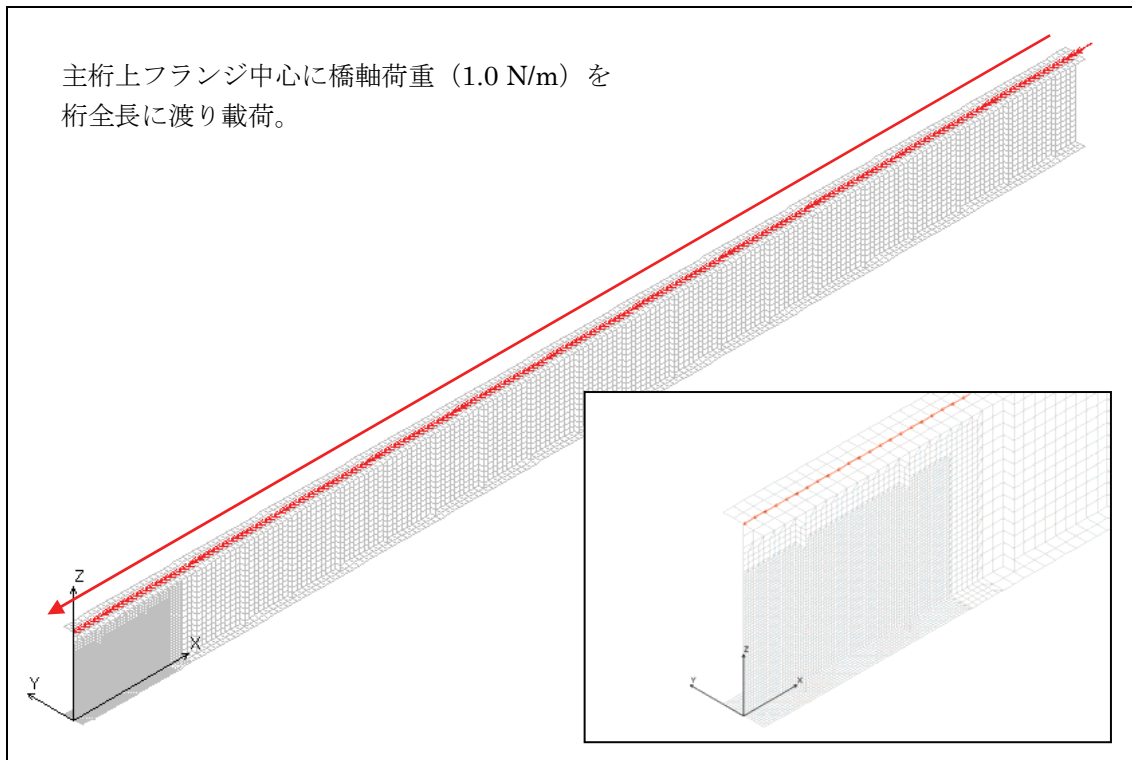


付図-3.2 検討解析 下フランジ解析モデル図（上からの視点）



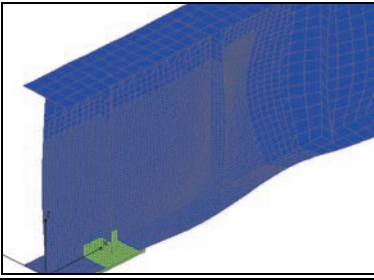
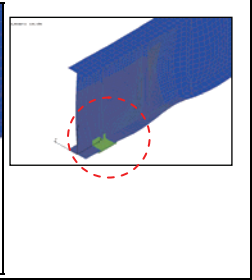
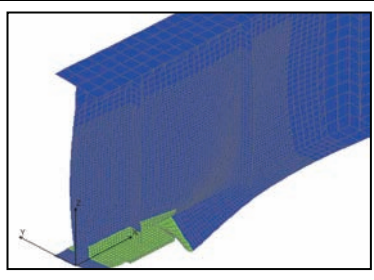
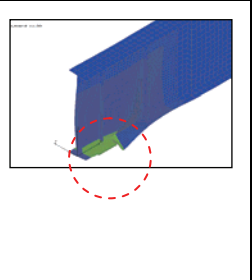
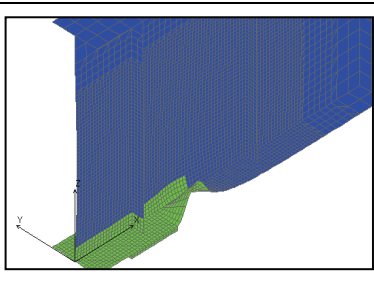
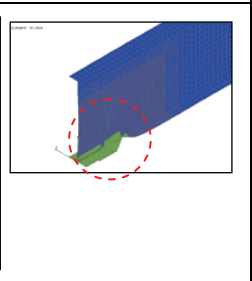
付図-3.3 検討解析下フランジ解析モデル図（下からの視点）

(2) 荷重方法

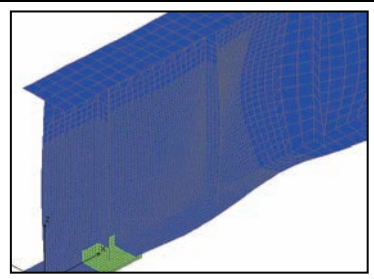
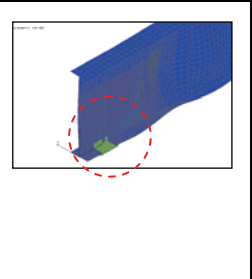
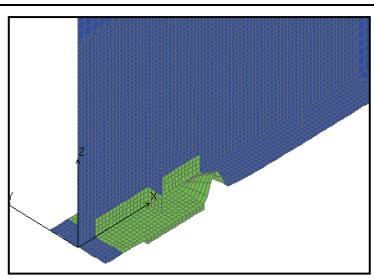
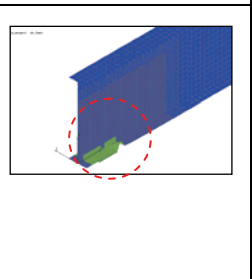
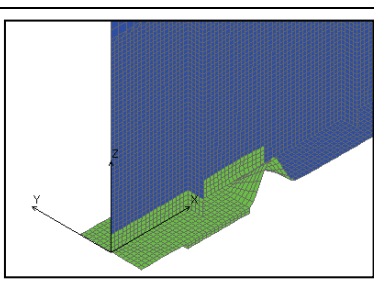
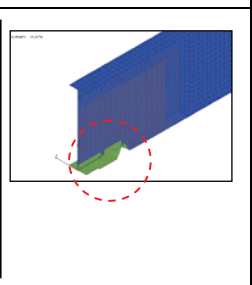


付図-3.4 検討解析時橋軸方向荷重荷重方法

(3) 座屈固有値の計算

<p>モデル C1-50</p> <p>板厚減少率 50%</p> <p>腐食範囲：ソールプレート内</p> <p>座屈固有値：128.1</p> <p>健全モデル比：101 %</p>			
<p>モデル C2-50</p> <p>板厚減少率 50%</p> <p>腐食範囲：ソールプレート外</p> <p>座屈固有値：112.3</p> <p>健全モデル比：88 %</p>			
<p>モデル C3-50</p> <p>板厚減少率 50%</p> <p>腐食範囲：広範囲</p> <p>座屈固有値：87.4</p> <p>健全モデル比：69 %</p>			

付図-3.5 腐食範囲影響解析 座屈解析結果

<p>モデル C1-75</p> <p>板厚減少率 75%</p> <p>腐食範囲：ソールプレート内</p> <p>座屈固有値：129.3</p> <p>健全モデル比：102 %</p>			
<p>モデル C2-75</p> <p>板厚減少率 75%</p> <p>腐食範囲：ソールプレート外</p> <p>座屈固有値：28.4</p> <p>健全モデル比：22 %</p>			
<p>モデル C3-75</p> <p>板厚減少率 75%</p> <p>腐食範囲：広範囲</p> <p>座屈固有値：13.7</p> <p>健全モデル比：11 %</p>			

付図-3.6 腐食範囲影響解析 座屈解析結果

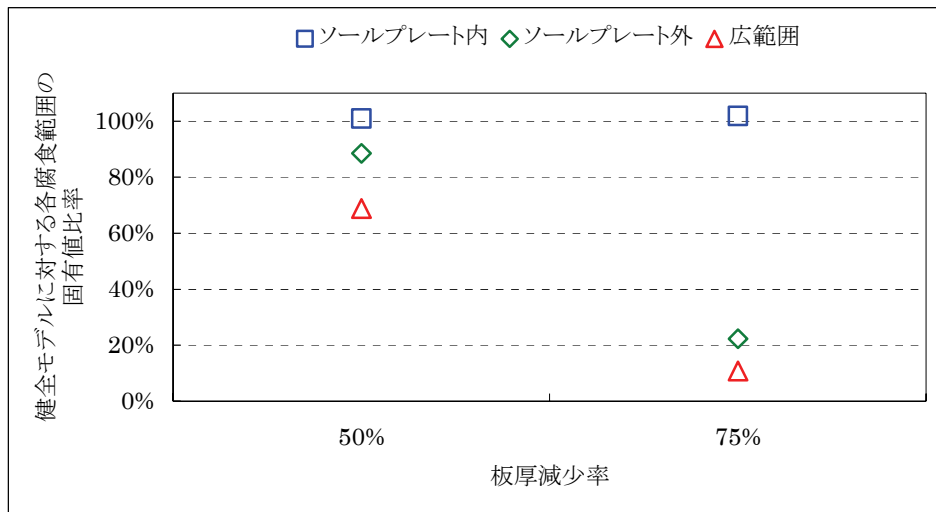
付表-3.1 腐食範囲影響解析 健全モデルと腐食範囲の固有値比較

座屈固有値

	健全モデル	ソールプレート内	ソールプレート外	広範囲
0%	127.0	---	---	---
50%	---	128.1	112.3	87.4
75%	---	129.3	28.4	13.7

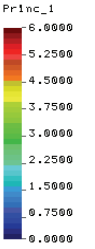
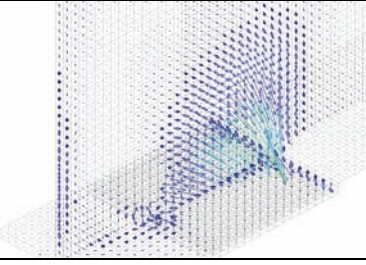
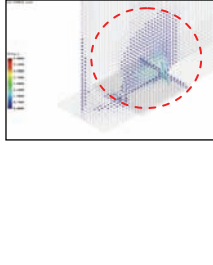
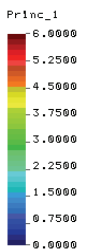
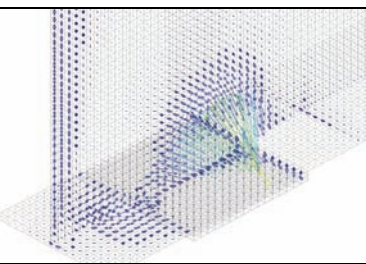
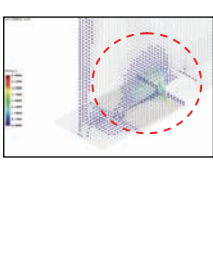
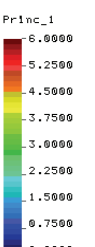
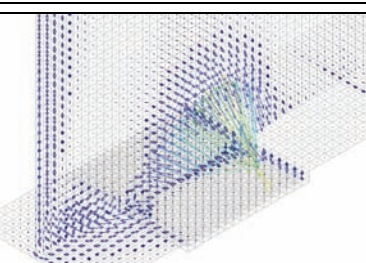
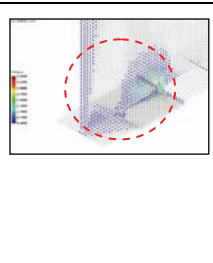
健全モデルに対する各腐食モデルの固有値比率

	ソールプレート内	ソールプレート外	広範囲
50%	101%	88%	69%
75%	102%	22%	11%

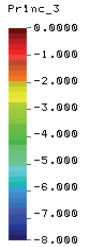
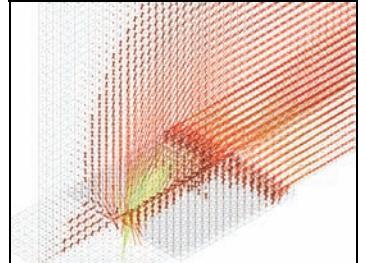
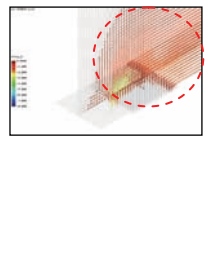
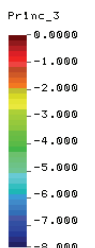
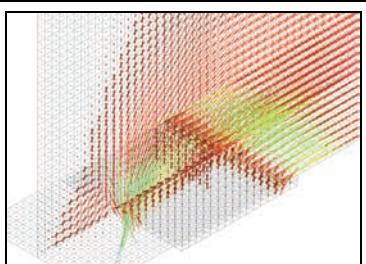
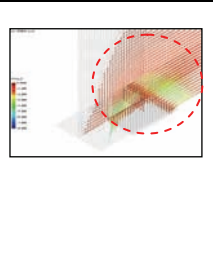
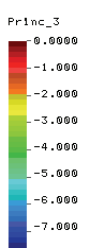
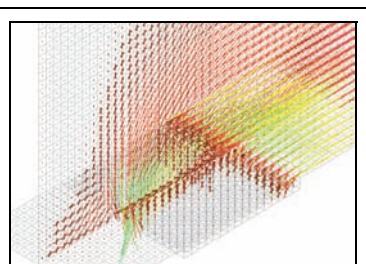
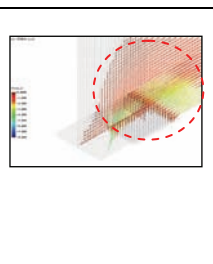


付図-3.7 腐食範囲影響解析 座屈固有値比較

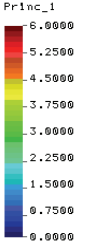
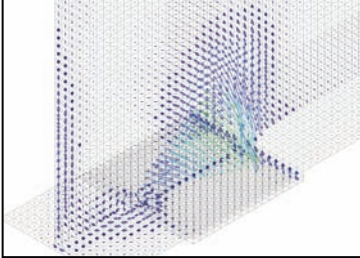
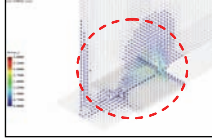
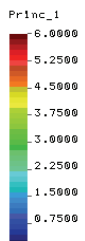
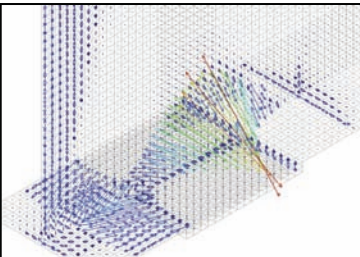
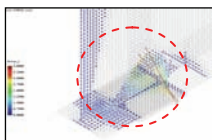
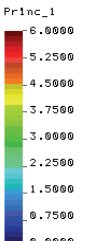
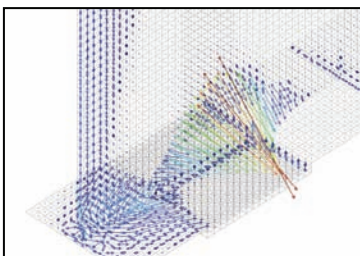
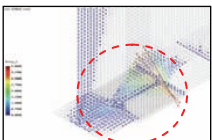
(5) 作用応力度の計算

<p>モデル C1-50</p> <p>板厚減少率 50%</p> <p>腐食範囲：ソールプレート内</p> <p>最大主応力：3.6</p> <p>健全モデル比：103 %</p>			
<p>モデル C2-50</p> <p>板厚減少率 50%</p> <p>腐食範囲：ソールプレート外</p> <p>最大主応力：3.6</p> <p>健全モデル比：149 %</p>			
<p>モデル C3-50</p> <p>板厚減少率 50%</p> <p>腐食範囲：広範囲</p> <p>最大主応力：3.7</p> <p>健全モデル比：154 %</p>			

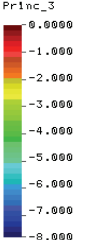
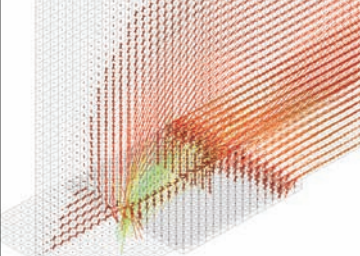
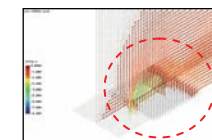
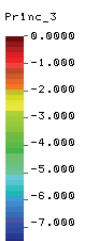
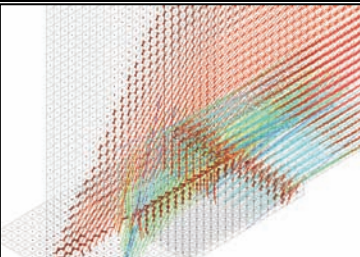
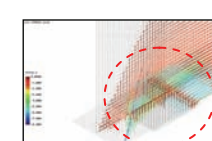
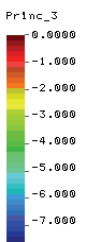
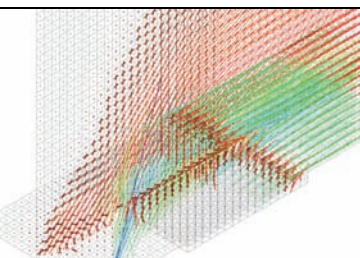
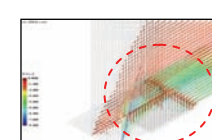
付図-3.8 腐食範囲影響解析 最大主応力

<p>モデル C1-50</p> <p>板厚減少率 50%</p> <p>腐食範囲：ソールプレート内</p> <p>最小主応力：-4.1</p> <p>健全モデル比：105 %</p>			
<p>モデル C2-50</p> <p>板厚減少率 50%</p> <p>腐食範囲：ソールプレート外</p> <p>最小主応力：-4.5</p> <p>健全モデル比：155 %</p>			
<p>モデル C3-50</p> <p>板厚減少率 50%</p> <p>腐食範囲：広範囲</p> <p>最小主応力：-4.6</p> <p>健全モデル比：158 %</p>			

付図-3.9 腐食範囲影響解析 最小主応力

<p>モデル C1-75</p> <p>板厚減少率 75%</p> <p>腐食範囲：ソールプレート内</p> <p>最大主応力：3.6</p> <p>健全モデル比：103 %</p>			
<p>モデル C2-75</p> <p>板厚減少率 75%</p> <p>腐食範囲：ソールプレート外</p> <p>最大主応力：5.0</p> <p>健全モデル比：208 %</p>			
<p>モデル C2-75</p> <p>板厚減少率 75%</p> <p>腐食範囲：広範囲</p> <p>最大主応力：5.4</p> <p>健全モデル比：223 %</p>			

付図-3.10 腐食範囲影響解析 最大主応力

<p>モデル C1-75</p> <p>板厚減少率 75%</p> <p>腐食範囲：ソールプレート内</p> <p>最小主応力：-4.2</p> <p>健全モデル比：108 %</p>			
<p>モデル C2-75</p> <p>板厚減少率 75%</p> <p>腐食範囲：ソールプレート外</p> <p>最小主応力：-6.6</p> <p>健全モデル比：226 %</p>			
<p>モデル C3-75</p> <p>板厚減少率 75%</p> <p>腐食範囲：広範囲</p> <p>最小主応力：-6.9</p> <p>健全モデル比：237 %</p>			

付図-3.11 腐食範囲影響解析 最小主応力

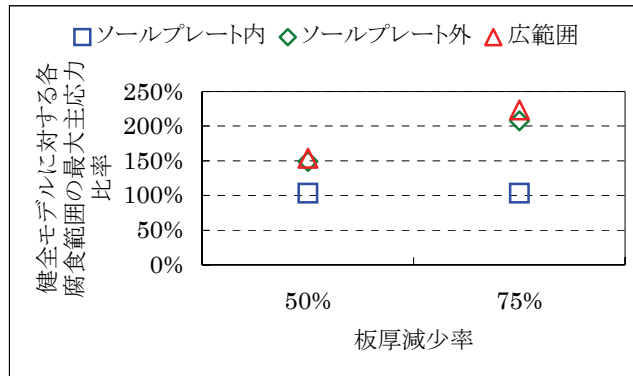
付表-3.2 腐食範囲影響解析 最大主応力比較

最大主応力(N/mm²)

		ソールプレート内	ソールプレート外	広範囲
50%	腐食モデル	3.56	3.58	3.69
	同一位置健全モデル	3.44	2.40	2.40
75%	腐食モデル	3.55	4.98	5.36
	同一位置健全モデル	3.44	2.40	2.40

健全モデルに対する各腐食モデルの最大主応力比率

		ソールプレート内	ソールプレート外	広範囲
50%		103%	149%	154%
75%		103%	208%	223%



付図-3.12 腐食範囲影響解析 最大主応力比較

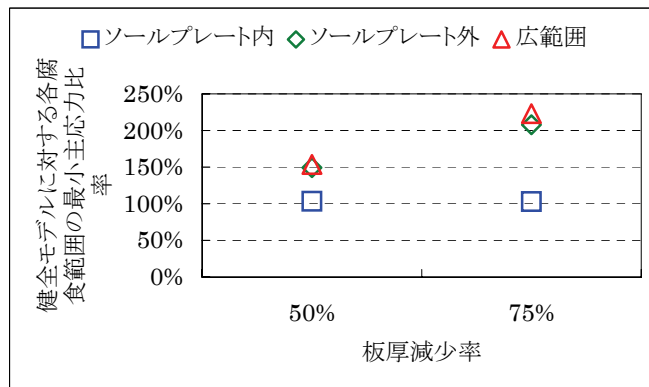
付表-3.3 腐食範囲影響解析 最小主応力比較

最大主応力(N/mm²)

		ソールプレート内	ソールプレート外	広範囲
50%	腐食モデル	-4.12	-4.51	-4.60
	同一位置健全モデル	-3.93	-2.92	-2.92
75%	腐食モデル	-4.24	-6.60	-6.92
	同一位置健全モデル	-3.93	-2.92	-2.92

健全モデルに対する各腐食モデルの最大主応力比率

		ソールプレート内	ソールプレート外	広範囲
50%		105%	155%	158%
75%		108%	226%	237%



付図-3.13 腐食範囲影響解析 最小主応力比較